



Associazione Italiana

Calcestruzzo armato e Precompresso

LA PROGETTAZIONE STRUTTURALE
SECONDO IL D.M. 14.01.08 E
CIRCOLARE APPLICATIVA

(Catanzaro, 15-16 Aprile 2010)

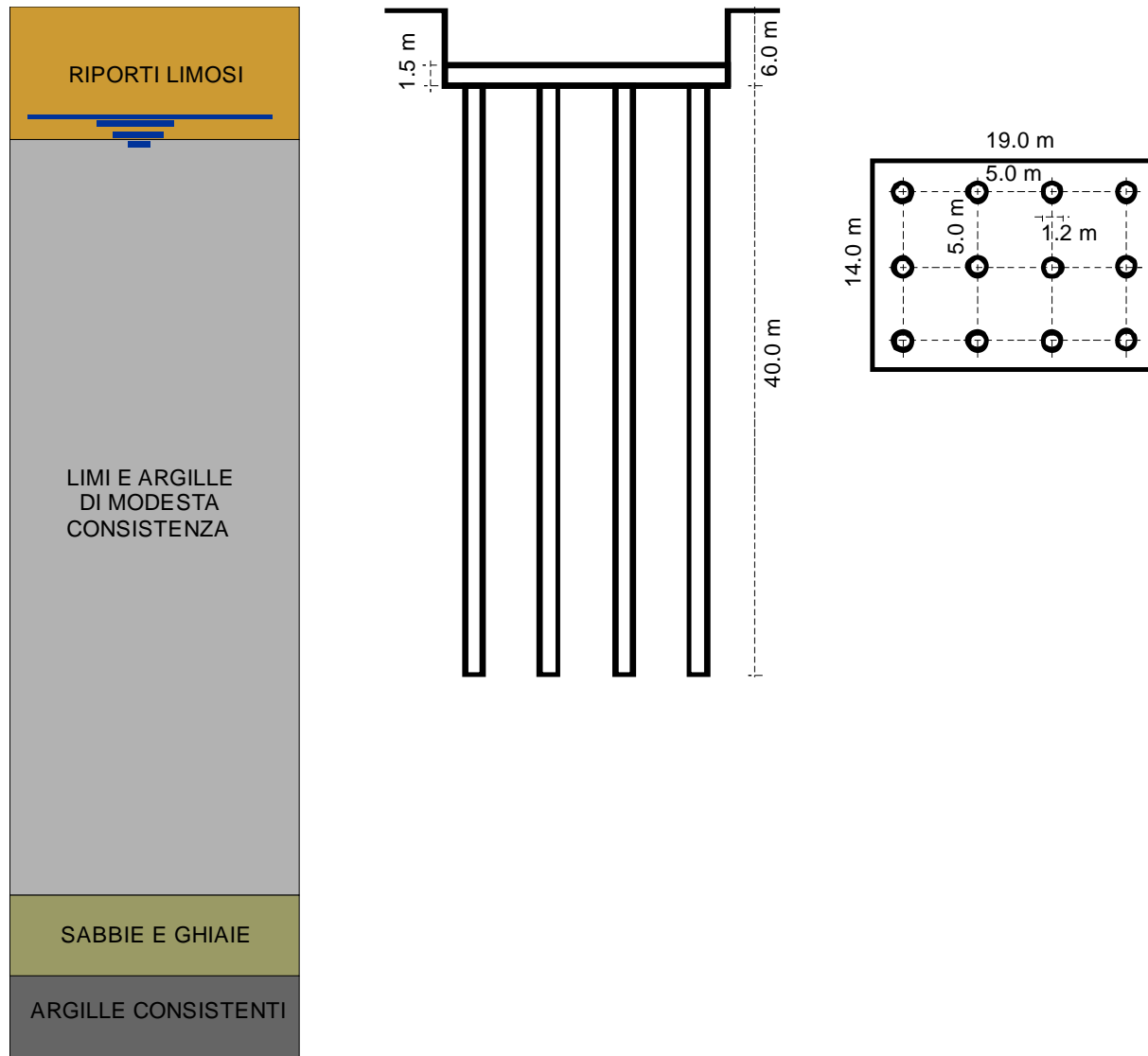
FONDAZIONI SU PALI

Alberto Burghignoli
Ordinario di Meccanica delle Terre

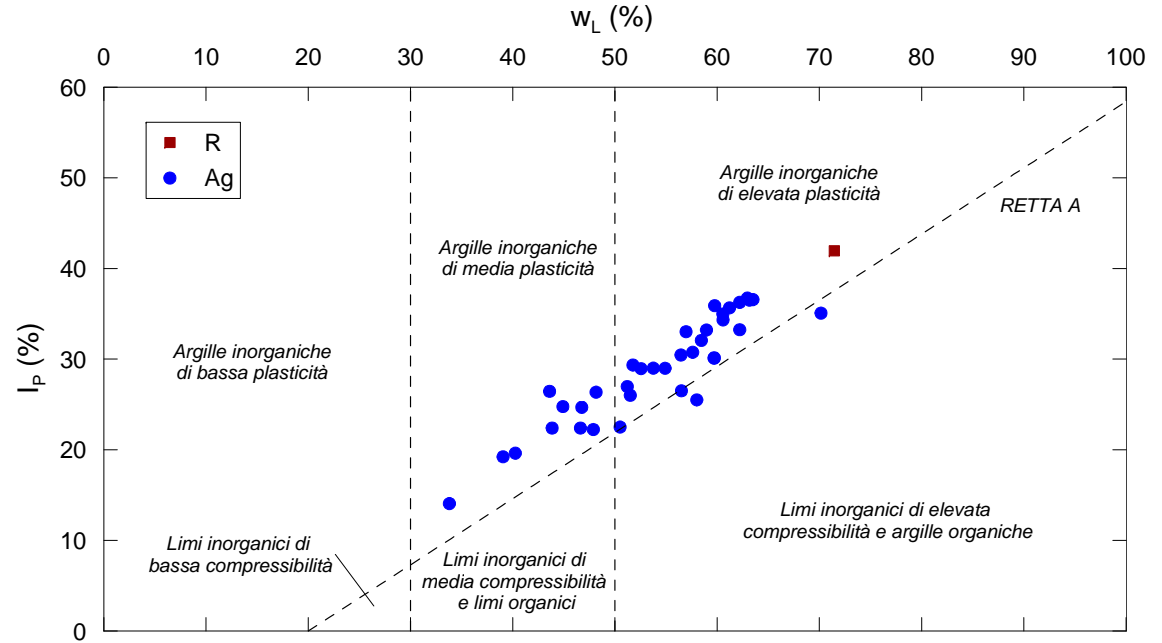
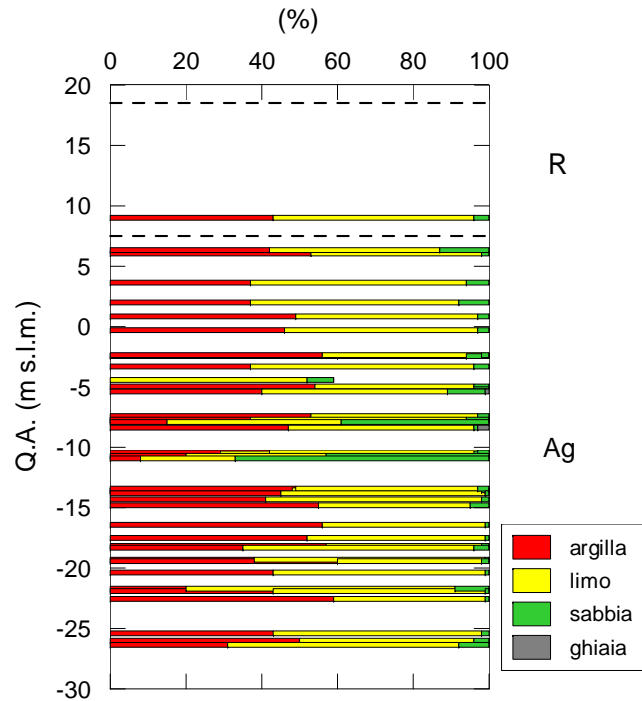


SAPIENZA
UNIVERSITÀ DI ROMA

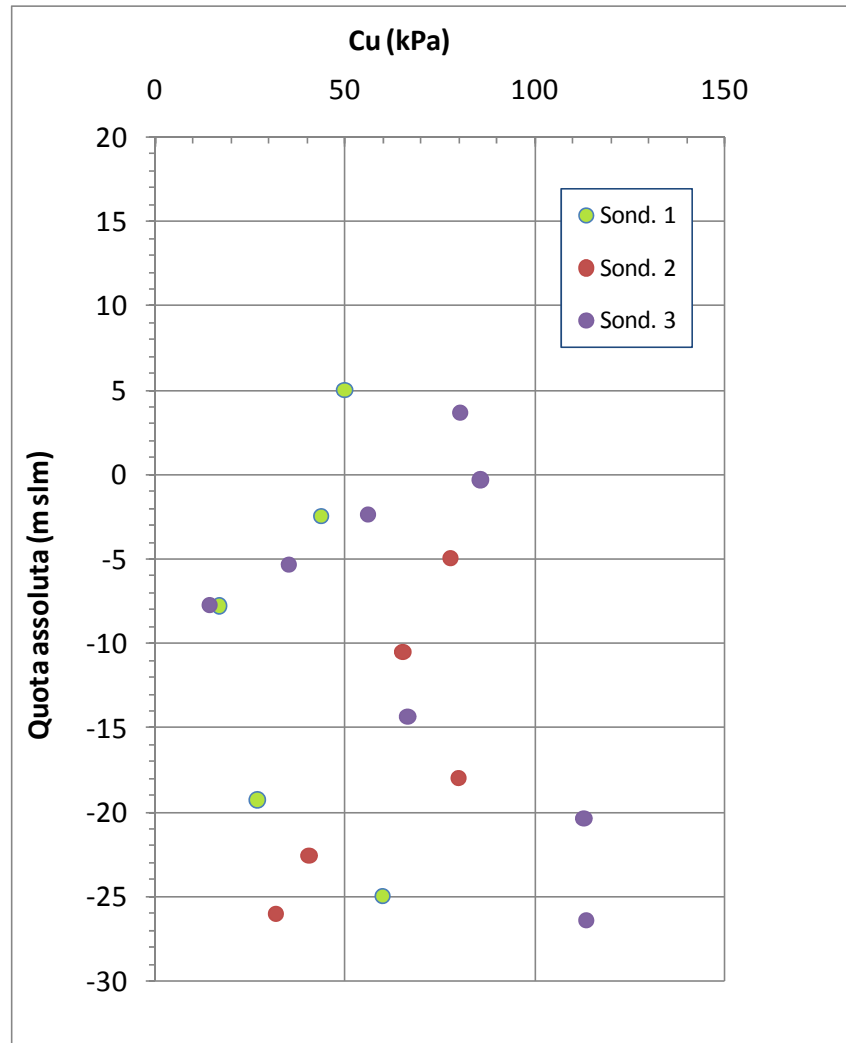
SISTEMA DI FONDAZIONE



Classificazione dei terreni



Coesione non drenata



PALO ISOLATO

VERIFICA ALLO STATO LIMITE ULTIMO

$$F_{c,d} \leq R_{c,d}$$

La verifica è effettuata partendo da risultati di prove di laboratorio.

La resistenza di progetto è valutata calcolando separatamente la resistenza laterale e la resistenza alla base.

$$R_{cs,d} = \frac{1}{\gamma_{Rs}} R_{cs,k} = \frac{1}{\gamma_{Rs}} \frac{1}{\xi} R_{cs,cal}$$

$$R_{cb,d} = \frac{1}{\gamma_{Rb}} R_{cb,k} = \frac{1}{\gamma_{Rb}} \frac{1}{\xi} R_{cb,cal}$$



PALO ISOLATO

VERIFICA ALLO STATO LIMITE ULTIMO

$$E_d = \gamma_G \cdot G_k + \gamma_Q \cdot Q_k$$

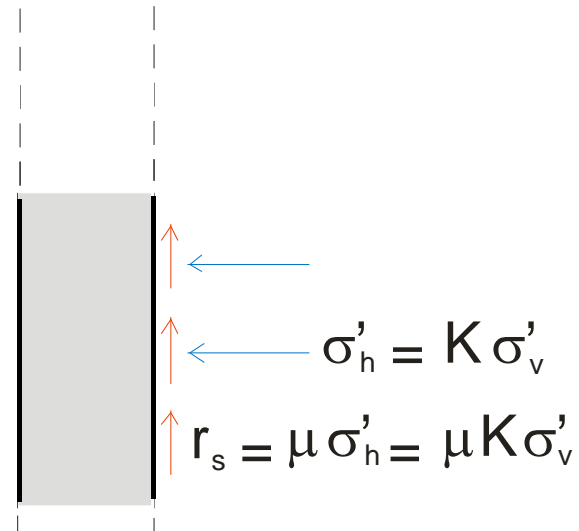
$$R_d = \frac{R_k}{\gamma_R} = \frac{R_c}{\xi \cdot \gamma_R}$$

AP1- C1: A1+M1+R1
AP1- C2: A2+M1+R2
AP2: A1+M1+R3

CARICHI	γ_F	EFFETTO	(A1) STR	(A2) GEO	PARAMETRO	γ_M	(M1)	(M2)
Permanenti	γ_G	Favorevole	1,0	1,0	$\tan \varphi'_k$	$\gamma_{\varphi'}$	1,0	1,25
		Sfavorevole	1,3	1,0	c'_k	$\gamma_{c'}$	1,0	1,25
Variabili	γ_Q	Favorevole	0,0	0,0	c_{uk}	γ_{cu}	1,0	1,4
		Sfavorevole	1,5	1,3	γ	γ_{γ}	1,0	1,0

	Pali infissi			Pali trivellati			Pali ad elica continua		
	(R1)	(R2)	(R3)	(R1)	(R2)	(R3)	(R1)	(R2)	(R3)
RESISTENZA	γ_R	γ_R	γ_R	γ_R	γ_R	γ_R	γ_R	γ_R	γ_R
<i>Carichi assiali</i>									
Base	1,0	1,45	1,15	1,0	1,7	1,35	1,0	1,6	1,3
Laterale in compressione	1,0	1,45	1,15	1,0	1,45	1,15	1,0	1,45	1,15
Totale	1,0	1,45	1,15	1,0	1,6	1,30	1,0	1,55	1,25
Laterale in trazione	1,0	1,6	1,25	1,0	1,6	1,25	1,0	1,6	1,25
<i>Carichi trasversali</i>	1,0	1,6	1,3	1,0	1,6	1,3	1,0	1,6	1,3





Ad esempio:

$$K = 1 - \sin \varphi'$$

$$\mu = \tan \varphi'$$

$$\mu K = \tan \varphi' (1 - \sin \varphi')$$



PALO ISOLATO

VERIFICA ALLO STATO LIMITE ULTIMO

$$E_d = \gamma_G \cdot G_k + \gamma_Q \cdot Q_k$$

$$R_d = \frac{R_k}{\gamma_R} = \frac{R_c}{\xi \cdot \gamma_R}$$

AP1- C1: A1+M1+R1
AP1- C2: A2+M1+R2
AP2: A1+M1+R3

CARICHI	γ_F	EFFETTO	(A1) STR	(A2) GEO	PARAMETRO	γ_M	(M1)	(M2)
Permanenti	γ_G	Favorevole	1,0	1,0	$\tan \varphi'_k$	$\gamma_{\varphi'}$	1,0	1,25
		Sfavorevole	1,3	1,0	c'_k	$\gamma_{c'}$	1,0	1,25
Variabili	γ_Q	Favorevole	0,0	0,0	c_{uk}	γ_{cu}	1,0	1,4
		Sfavorevole	1,5	1,3	γ	γ_{γ}	1,0	1,0

	Pali infissi			Pali trivellati			Pali ad elica continua		
	(R1)	(R2)	(R3)	(R1)	(R2)	(R3)	(R1)	(R2)	(R3)
RESISTENZA	γ_R	γ_R	γ_R	γ_R	γ_R	γ_R	γ_R	γ_R	γ_R
<i>Carichi assiali</i>									
Base	1,0	1,45	1,15	1,0	1,7	1,35	1,0	1,6	1,3
Laterale in compressione	1,0	1,45	1,15	1,0	1,45	1,15	1,0	1,45	1,15
Totale	1,0	1,45	1,15	1,0	1,6	1,30	1,0	1,55	1,25
Laterale in trazione	1,0	1,6	1,25	1,0	1,6	1,25	1,0	1,6	1,25
<i>Carichi trasversali</i>	1,0	1,6	1,3	1,0	1,6	1,3	1,0	1,6	1,3



Resistenza caratteristica

$$R_{c,k} = \text{Min} \left\{ \frac{(R_{c,\text{cal}})_{\text{media}}}{\xi_3}; \frac{(R_{c,\text{cal}})_{\text{min}}}{\xi_4} \right\}$$
$$R_{t,k} = \text{Min} \left\{ \frac{(R_{t,\text{cal}})_{\text{media}}}{\xi_3}; \frac{(R_{t,\text{cal}})_{\text{min}}}{\xi_4} \right\}$$

Numero di verticali indagate	1	2	3	4	5	7	≥ 10
ξ_3	1,70	1,65	1,60	1,55	1,50	1,45	1,40
ξ_4	1,70	1,55	1,48	1,42	1,34	1,28	1,21



Resistenza laterale

$$R_{cs,cal} = \pi \cdot D \cdot L \cdot r_{cs,cal} = \pi \cdot D \cdot L \cdot (\alpha \cdot c_u)_s$$

Resistenza alla base

$$R_{cb,cal} = \frac{\pi \cdot D^2}{4} r_{cb,cal} = \frac{\pi \cdot D^2}{4} (9 \cdot c_{ub} + \gamma \cdot L)$$



Resistenza laterale unitaria

Sond. 1				Sond. 2				Sond. 3			
z (m)	c_u (kPa)	α	r_s (kPa)	z (m)	c_u (kPa)	α	r_s (kPa)	z (m)	c_u (kPa)	α	r_s (kPa)
14.0	50.0	0.55	27.5	24.0	77.8	0.35	27.2	15.4	80.3	0.35	28.1
21.5	43.9	0.60	26.3	29.5	65.3	0.43	27.9	19.3	85.7	0.35	30.0
26.8	17.0	0.75	12.8	37.0	80.0	0.31	24.8	21.4	56.0	0.50	28.1
38.3	27.0	0.73	19.8	41.6	40.6	0.63	25.4	24.4	35.1	0.67	23.5
44.0	60.0	0.47	28.2	45.0	31.8	0.70	22.1	26.7	14.3	0.75	10.7
								33.3	66.4	0.42	27.8
								39.4	112.0	0.35	39.2
								45.4	113.4	0.35	39.7
		media =	22.9			media =	25.5			media =	28.4



Applicando le relazioni precedenti:

	Sond. 1	Sond. 2	Sond. 3
$R_{cs,cal}$ (kN)	3453	3845	4283
$R_{cb,cal}$ (kN)	1448	1161	1991
$R_{c,cal}$ (kN)	4901	5006	6274

$$(R_{c,cal})_{med} = 5851 \text{ kN} \quad (R_{c,cal})_{min} = 4901 \text{ kN}$$

$$\xi_3 = 1.60 \quad (R_{c,cal})_{med} / \xi_3 = 3371 \text{ kN}$$

$$\xi_4 = 1.48 \quad (R_{c,cal})_{min} / \xi_4 = 3311 \text{ kN}$$



Poiché la verifica è condizionata dal valore minimo della resistenza di calcolo, i valori caratteristici devono essere calcolati impiegando il coefficiente di correlazione ξ_4 .

Quindi:

$$R_{cs,k} = R_{cs,cal} / \xi_4 = 2333 \text{ kN},$$

$$R_{cb,k} = R_{cb,cal} / \xi_4 = 978 \text{ kN}.$$

Trattandosi di pali trivellati, adottando l'AP1-C2 si devono impiegare i coefficienti di sicurezza parziali

$$\gamma_R = 1.45 \text{ (resistenza laterale in compressione)}$$

$$\gamma_R = 1.70 \text{ (resistenza alla base)}$$



La resistenza di progetto a compressione del palo isolato vale pertanto:

$$R_{cs,d} = R_{cs,k}/1.45 = 1609 \text{ kN}$$

$$R_{cb,d} = R_{cb,k}/1.70 = 575 \text{ kN}$$

$$R_{c,d} = 2185 \text{ kN}$$



Confronto con la normativa precedente (DM88)

Effettuando il dimensionamento geotecnico del palo isolato con le precedenti norme ed assumendo cautelativamente il valore minore delle resistenze di calcolo, $(R_{c,cal})_{min} = 4901$ kN, la resistenza minima di progetto del palo isolato risulta pari a:

$$(R_{c,d})_{DM88} = R_{c,cal} / F_{min} = 4901/2.5 = 1960 \text{ kN.}$$

Per confrontare questo risultato con quello precedente, occorre tener conto che:

$$(E_{c,d})_{NTC08} = \gamma_{G1} G_k + \gamma_{Q1} Q_k$$

$$(E_{c,d})_{DM88} = G_k + Q_k$$



Confronto con la normativa precedente (DM88)

Pertanto:

$$\left(\frac{R_{c,d}}{E_{c,d}} \right)_{NTC08} = \frac{(R_{c,d})_{NTC08}}{\gamma_{G1} G_k + \gamma_{Q1} Q_k} \quad \left(\frac{R_{c,d}}{E_{c,d}} \right)_{DM88} = \frac{(R_{c,d})_{DM88}}{G_k + Q_k}$$

Uguagliando le precedenti espressioni si ottiene:

$$\frac{(R_{c,d})_{NTC08}}{\gamma_{G1} G_k + \gamma_{Q1} Q_k} = \frac{(R_{c,d})_{DM88}}{G_k + Q_k}$$

da cui:

$$\frac{(R_{c,d})_{NTC08}}{(R_{c,d})_{DM88}} = \frac{\gamma_{G1} + \frac{Q_k}{G_k} \gamma_{Q1}}{1 + \frac{Q_k}{G_k}}$$



Confronto con la normativa precedente (DM88)

$$\frac{(R_{c,d})_{NTC08}}{(R_{c,d})_{DM08}} = \frac{\gamma_{G1} + \frac{Q_k}{G_k} \gamma_{Q1}}{1 + \frac{Q_k}{G_k}}$$

$$\frac{(R_{c,d})_{NTC08}}{(R_{c,d})_{DM08}} = 1.11$$

Q_k/G_k	$(R_{c,d})_{NTC08}/(R_{c,d})_{DM88}$
0	1.00
0.2	1.05
0.3	1.07
0.4	1.09
0.5	1.10
0.6	1.11
0.7	1.12
0.8	1.13
0.9	1.14

Nel caso in esame, l'applicazione delle NTC08 risulta più conveniente rispetto alle vecchie norme fintanto che il rapporto tra azioni variabili e azioni permanenti si mantiene inferiore a 0.6.



VERIFICA DELLA FONDAZIONE

I possibili vantaggi nell'applicazione delle NTC88 non si esauriscono con il confronto tra le resistenze del palo isolato o del gruppo di pali, ma anzi si esaltano considerevolmente nel dimensionamento geotecnico dell'intera fondazione, potendo portare in conto anche la resistenza della piastra di collegamento dei pali.

In queste condizioni, la resistenza dell'intera fondazione mista (piastra + pali) può risultare molto maggiore della resistenza del solo gruppo di pali.

Occorre tuttavia osservare che proprio per l'elevata resistenza conseguibile dalla fondazione mista può rendersi necessario il riferimento ad altri stati limite ultimi, quali quelli raggiungibili dalla struttura in elevazione per eccessivi cedimenti della fondazione stessa.

VERIFICA DELLA FONDAZIONE

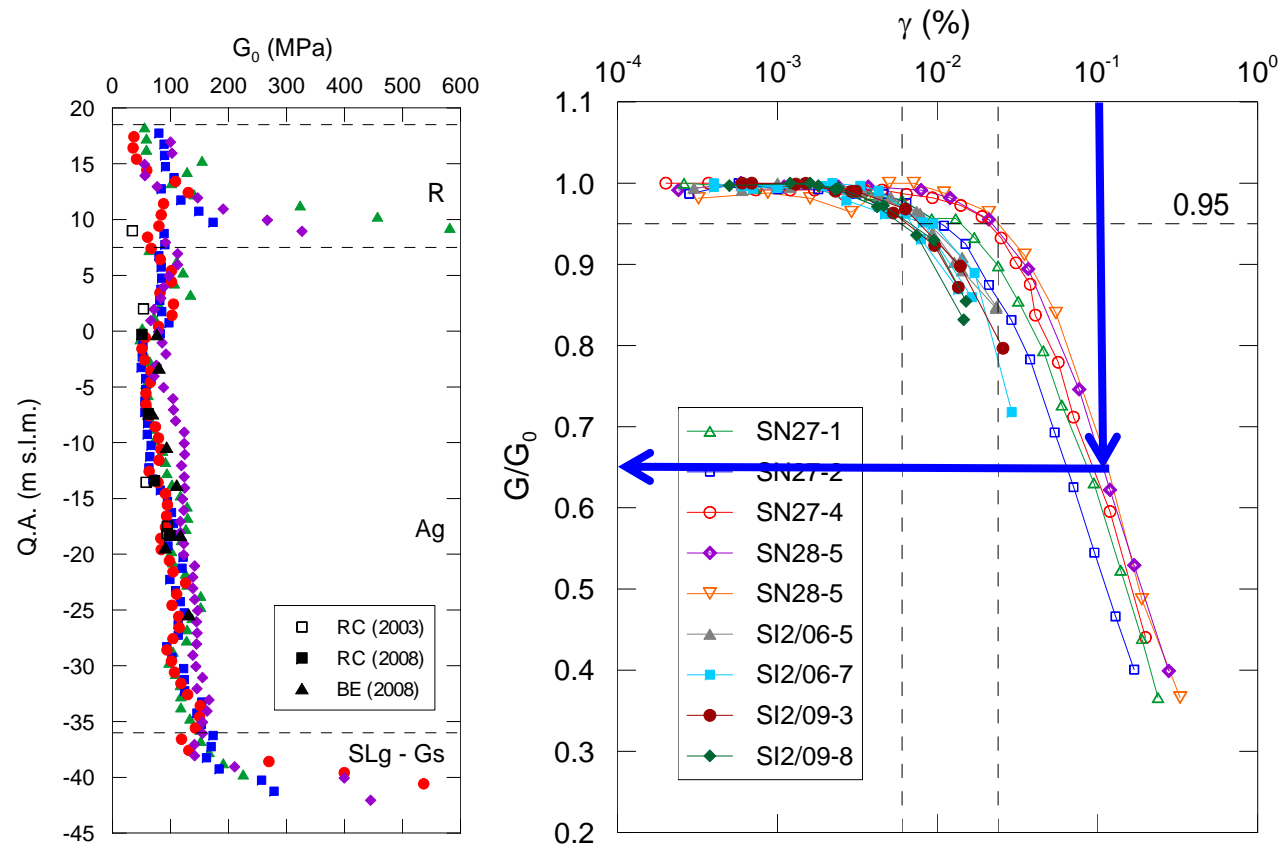
Per quanto sopra, si rende necessario lo studio completo del comportamento della fondazione mista, ricavando l'intera curva carichi - cedimenti, fino alle condizioni di collasso.

In questo modo è possibile determinare il cedimento della fondazione nonché la ripartizione dei carichi tra la piastra e i pali sotto i carichi di progetto e, in generale, con riferimento ad ogni prefissato stato limite.



INTERAZIONE PIASTRA-PALI-TERRENO

Rigidità del terreno di fondazione



$$G_0 = 74 \text{ MPa}$$

$$G = 48.1 \text{ MPa}$$

$$\nu = 0.5$$

$$E_u = 72 \text{ MPa}$$



Metodo semplificato di Poulos (2001)

Il metodo consente una valutazione di prima approssimazione della curva carichi-cedimenti della fondazione mista.

Esso richiede la determinazione preliminare delle resistenze e delle rigidzze dei sistemi:

- piastra-terreno;
- palo isolato-terreno;
- gruppo di pali-terreno.

La natura dell'analisi richiede che le grandezze meccaniche siano introdotte con i loro valori caratteristici



VALUTAZIONE DELLE RESISTENZE

1. RESISTENZA DEL SISTEMA PIASTRA-TERRENO

$$R_{r,k} = BL[(2 + \pi)c_{u,k} + \gamma S]$$

B, L: dimensioni in pianta della piastra;

S: profondità del piano di fondazione dal p.c.;

$c_{u,k}$: valore medio della coesione non drenata nel volume significativo;

γ : peso di volume del terreno sovrastante il piano di fondazione;.

Per $B=14$ m, $L=19$ m, $S=6$ m, $c_{u,k} = 51$ kPa e $\gamma=19$ kN/m³ si ottiene:

$$R_{r,k} = 100075 \text{ kN}$$



2. RESISTENZA CARATTERISTICA DEL SISTEMA PALO ISOLATO-TERRENO

Si assume il valore medio ottenuto con riferimento ai tre sondaggi:

$$R_{p,k} = 3644 \text{ kN}$$

3. RESISTENZA CARATTERISTICA DEL SISTEMA GRUPPO DI PALI-TERRENO

Adottando, ad esempio, l'espressione di Converse Labarre

$$E = 1 - \frac{2}{\pi} \tan^{-1} \left(\frac{D}{s} \right) \frac{(m-1)n + (n-1)m}{mn}$$

dove m ed n sono il numero delle file di pali nelle due direzioni, D il diametro dei pali ed s l'interasse, si ottiene $E = 0.788$.
Conseguentemente, la resistenza del gruppo di pali è

$$R_{G,k} = E n_p R_{p,k} = 34441 \text{ kN}$$



4. RESISTENZA CARATTERISTICA DELLA FONDAZIONE MISTA

$$R_{pr,k} = R_{r,k} + R_{G,k} = 100075 + 34441 = \mathbf{134516 \text{ kN}}$$

VALUTAZIONE DELLE RIGIDENZE

5. RIGIDEZZA MEDIA DELLA PIASTRA

$$K_r = \frac{P_r}{w_r}$$

Il cedimento w_r della piastra può essere valutato impiegando una delle diverse soluzioni disponibili nella letteratura tecnica, ad esempio Fraser & Wardle (1976). La rigidezza risulta:

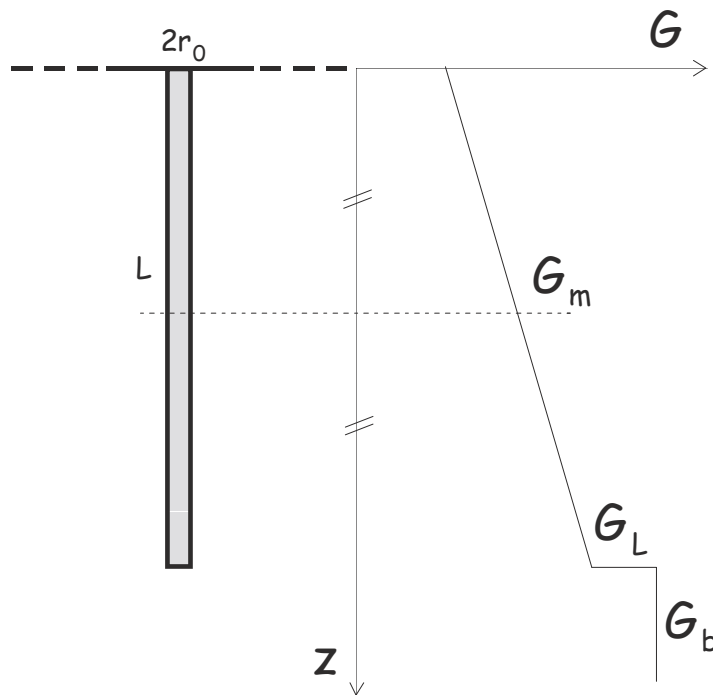
$$K_r = \mathbf{2.26 \cdot 10^6 \text{ kN/m}}$$



6. RIGIDEZZA DEL PALO ISOLATO

Adottando la relazione analitica proposta da Randolph si ottiene:

$$K_p = 1.63 \cdot 10^6 \text{ kN/m}$$



$$w = \frac{Q}{r_0 G_L} \frac{1 + \frac{1}{\pi \lambda} \frac{4}{1 - \nu} \frac{\eta \tanh(\mu L)}{\xi} \frac{L}{\mu L} \frac{L}{r_0}}{\frac{4}{1 - \nu} \frac{\eta}{\xi} + \frac{2\pi\rho \tanh(\mu L)}{\zeta} \frac{L}{\mu L} \frac{L}{r_0}}$$

$$\eta = \frac{r_b}{r_0}$$

$$\xi = \frac{G_L}{G_b}$$

$$\rho = \frac{G_m}{G_L}$$

$$\lambda = \frac{E_p}{G_L}$$

$$\zeta = \ln\left(\frac{r_m}{r_0}\right) = \ln\left\{ \left[0.25 + (2.5\rho(1 - \nu) - 0.25)\xi \right] \frac{L}{r_0} \right\}$$

$$\mu L = \sqrt{\frac{2}{\zeta \lambda}} \frac{L}{r_0}$$



7. RIGIDEZZA DEL GRUPPO DI PALI

Si adotta il metodo semiempirico di Butterfield & Douglas (1981), per il quale:

$$K_G = n_p^{1-a} K_p$$

dove n_p è il numero di pali del gruppo, K_p è la rigidezza del palo isolato e dove il valore della costante a è in genere compreso tra 0.4 e 0.6.

Assumendo $a = 0.5$, si ottiene

$$K_G = 4.65 \cdot 10^6 \text{ kN/m}$$



8. RIGIDEZZA DELLA FONDAZIONE MISTA

Seguendo il procedimento proposto da Randolph, la rigidezza della fondazione mista può essere valutata con le relazioni:

$$K_{pr} = \frac{K_G + K_r(1 - 2\alpha_{cp})}{1 - \alpha_{cp}^2 \frac{K_r}{K_G}} \quad \alpha_{cp} = \frac{\ln\left(\frac{r_m}{r_c}\right)}{\ln\left(\frac{r_m}{r_o}\right)}$$

con

$$r_o = 0.5D_p$$

$$r_m = 2.5(1 - \nu_s)L_p$$

$$r_c = \sqrt{\frac{LB}{n_p\pi}}$$



METODO SEMPLIFICATO DI POULOS

dove D_p e L_p sono il diametro e la lunghezza del palo, n_p il numero di pali nel gruppo, L e B le dimensioni della piastra, ν_s il coefficiente di Poisson del terreno.

Introducendo i valori numerici:

$$D_p = 1.2 \text{ m,}$$

$$L_p = 40 \text{ m,}$$

$$L = 19 \text{ m,}$$

$$B = 14 \text{ m,}$$

$$\nu_s = 0.5,$$

si ottiene

$$K_{dr} = 5.89 \cdot 10^6 \text{ kN/m}$$



METODO SEMPLIFICATO DI POULOS

Lo stesso procedimento di Randolph consente di valutare la ripartizione dei carichi tra piastra e pali tramite le espressioni:

$$\frac{P_r}{P} = \frac{K_r(1 - \alpha_{cp})}{K_G + K_r(1 - 2\alpha_{cp})}'$$

$$\frac{P_G}{P} = 1 - \frac{P_r}{P}.$$

Introducendo i valori numerici si ottiene:

$$\frac{P_r}{P} = 0.15,$$

$$\frac{P_G}{P} = 0.85.$$



LA CURVA CARICHI - CEDIMENTI

I precedenti risultati permettono di tracciare l'intera curva carichi-cedimenti della fondazione mista.

A questo fine si osserva che, per carichi inferiori alla resistenza del gruppo di pali, i cedimenti della fondazione mista sono proporzionali alla rigidezza K_{pr} .

Dalla relazione

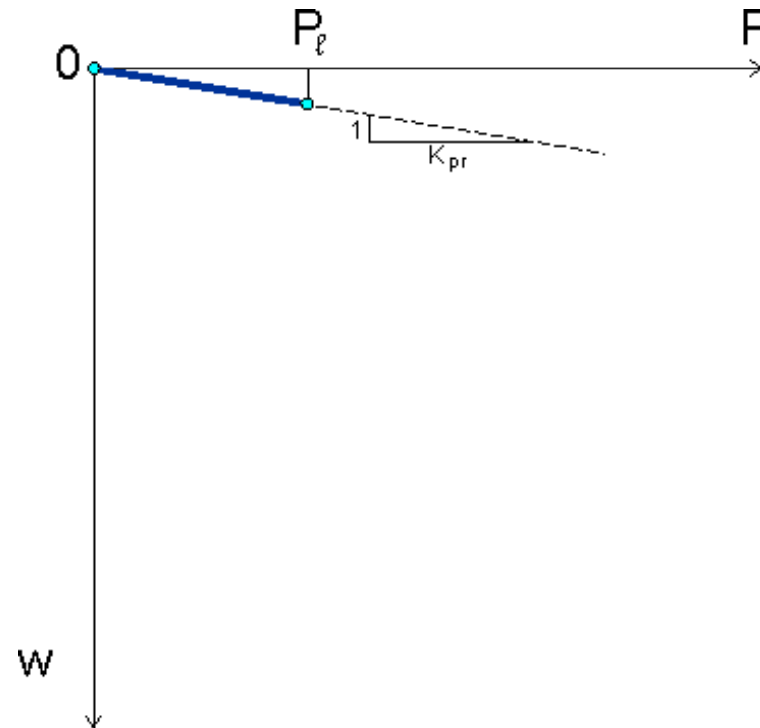
$$\frac{P_G}{P} = 1 - \frac{P_r}{P}$$

essendo $P_r/P = X$ costante,
si ricava

$$P = \frac{P_G}{1 - X}$$

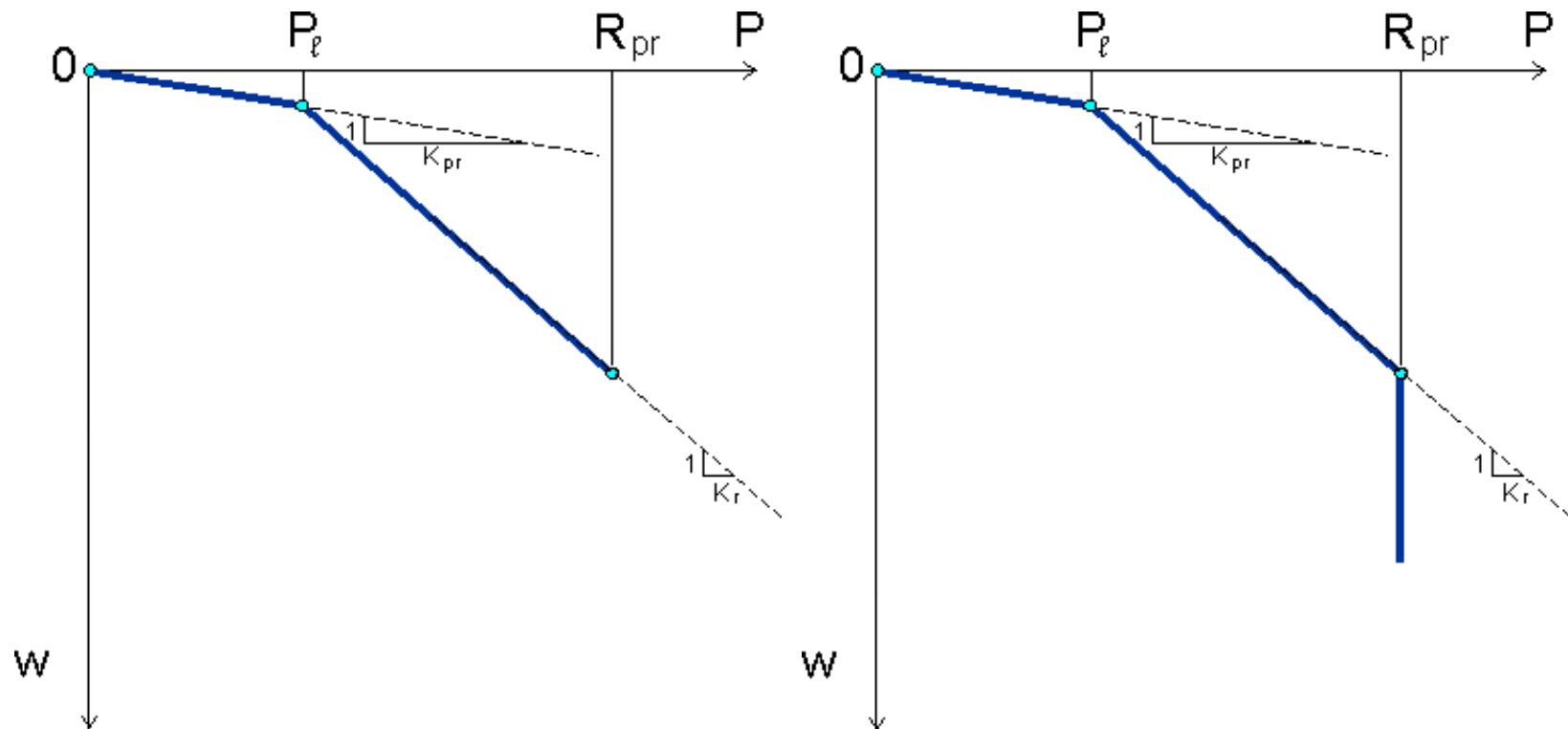
e

$$P_i = \frac{R_G}{1 - X}$$

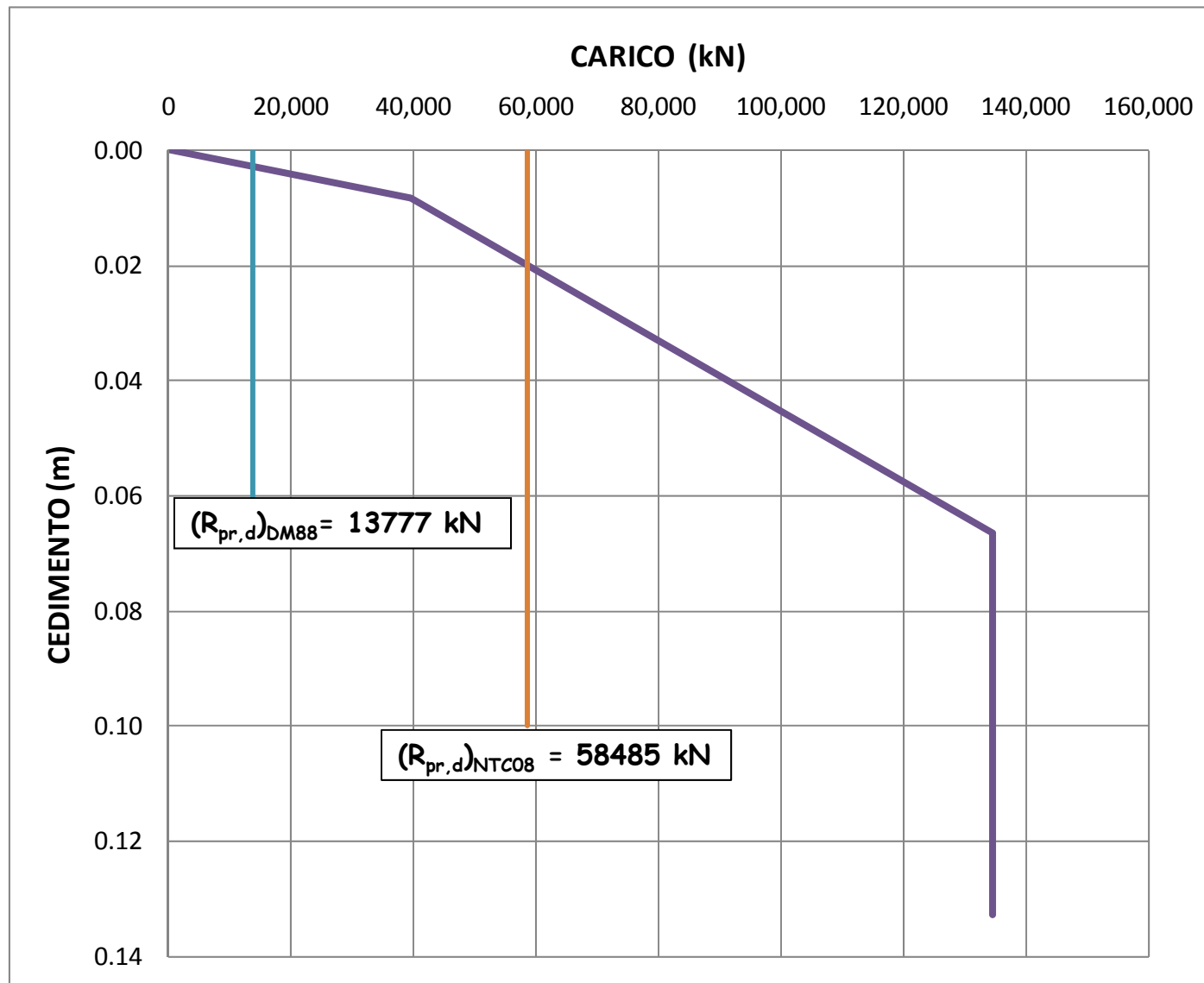


LA CURVA CARICHI - CEDIMENTI

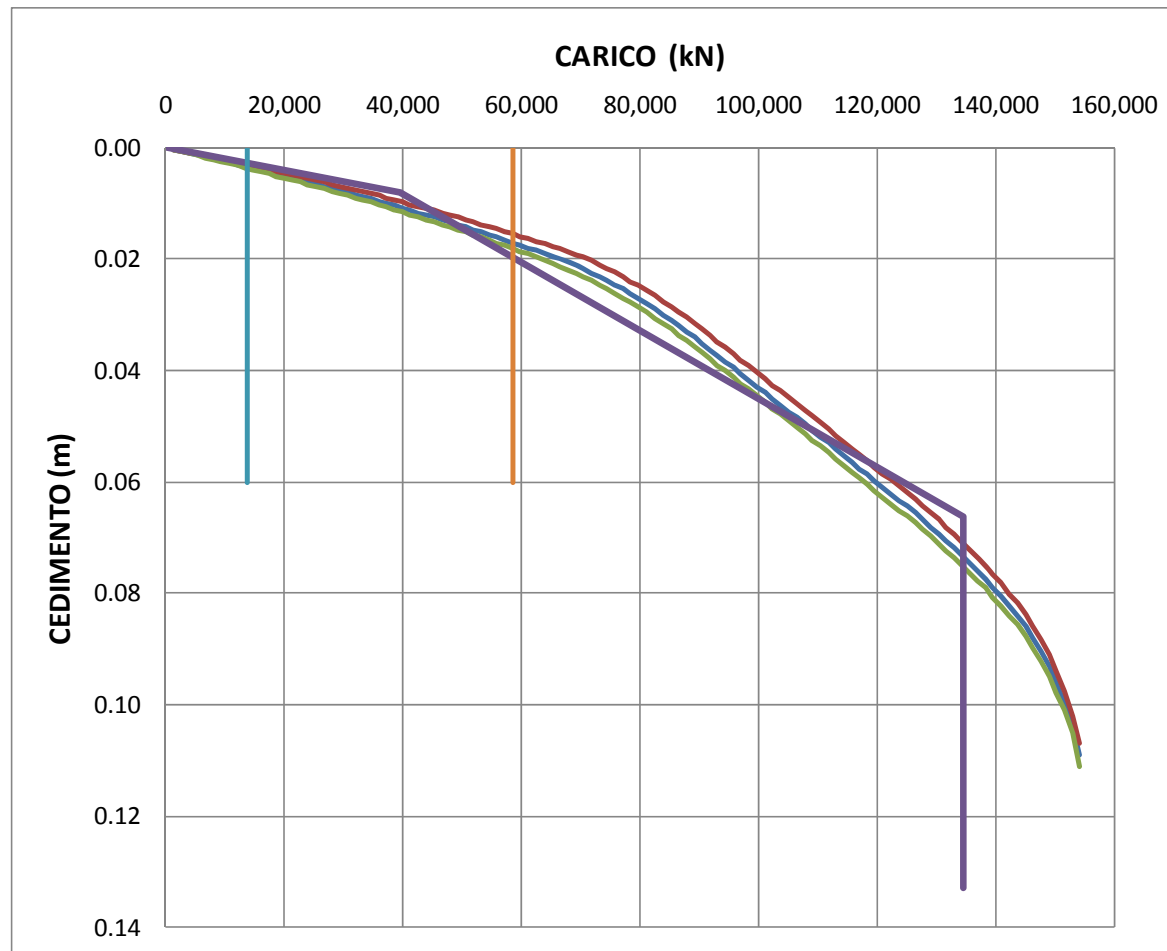
Per valori di P superiori a P_{ℓ} , la fondazione mista subisce cedimenti proporzionali alla rigidezza K_r della sola piastra fintanto che non si raggiunge la resistenza complessiva R_{pr} , in corrispondenza della quale si manifesta lo scorrimento indefinito.

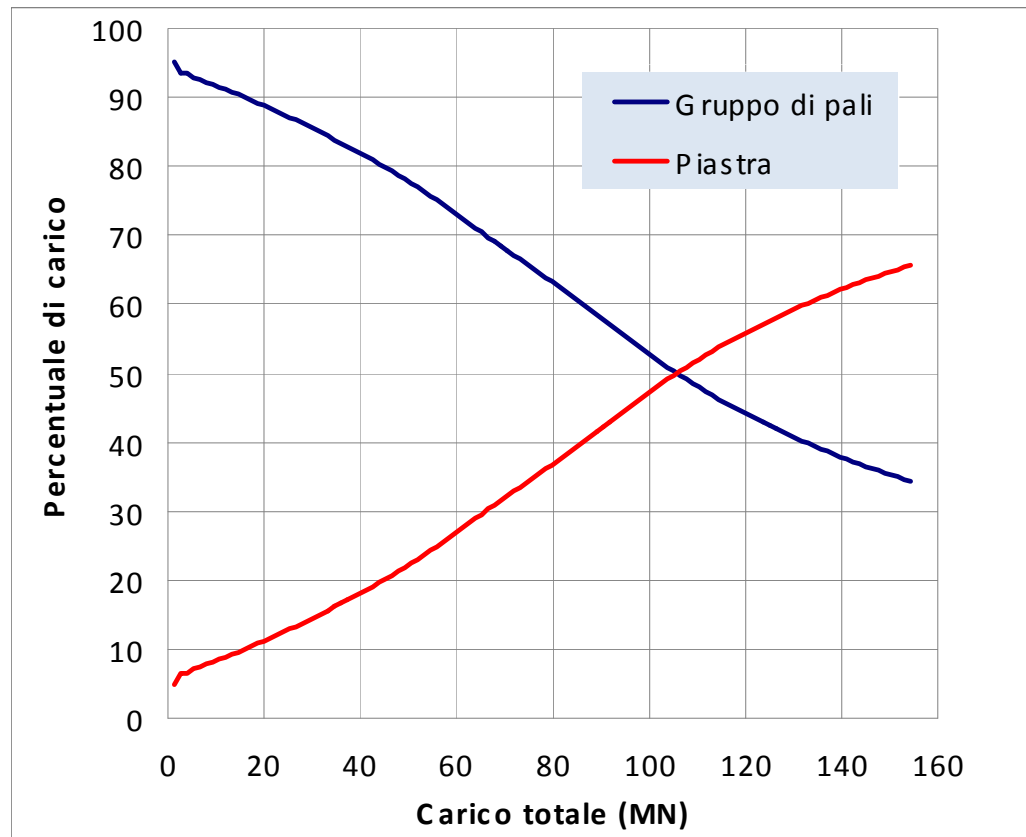


LA CURVA CARICHI - CEDIMENTI



LA CURVA CARICHI - CEDIMENTI





COMPORTAMENTO DELLA FONDAZIONE IN PRESENZA DI AZIONI SISMICHE



SINTESI DELLE VERIFICHE SLU

AP1-C2 (GEO)

IN CONDIZIONI STATICHE:

A2+M1+R2

$$\gamma_{G1} = 1.0 \quad \gamma_Q = 1.3$$

$$\gamma_{c'} = 1.0 \quad \gamma_{\varphi'} = 1.0$$

$$\gamma_R = 1.45 - 1.70 \text{ (carico assiale)}$$

$$\gamma_R = 1.6 \text{ (carico laterale)}$$

IN CONDIZIONI SISMICHE:

Valori caratteristici+**M1+R3**

$$\gamma_{G1} = 1.0 \quad \gamma_Q = 1.0$$

$$\gamma_{c'} = 1.0 \quad \gamma_{\varphi'} = 1.0$$

$$\gamma_R = 1.15 - 1.35 \text{ (carico assiale)}$$

$$\gamma_R = 1.3 \text{ (carico laterale)}$$

AP1-C1 (STR)

IN CONDIZIONI STATICHE:

A1+M1+R1

$$\gamma_{G1} = 1.3 \quad \gamma_Q = 1.5$$

IN CONDIZIONI SISMICHE:

Valori caratteristici+**M1+R1**

$$\gamma_{G1} = 1.0 \quad \gamma_Q = 1.0$$



SINTESI DELLE VERIFICHE SLU

AP2

IN CONDIZIONI STATICHE:

A1+M1+R3

$$\gamma_{G1} = 1.3 \quad \gamma_Q = 1.5$$

$$\gamma_R = 1.15 - 1.35 \text{ (carico assiale)}$$

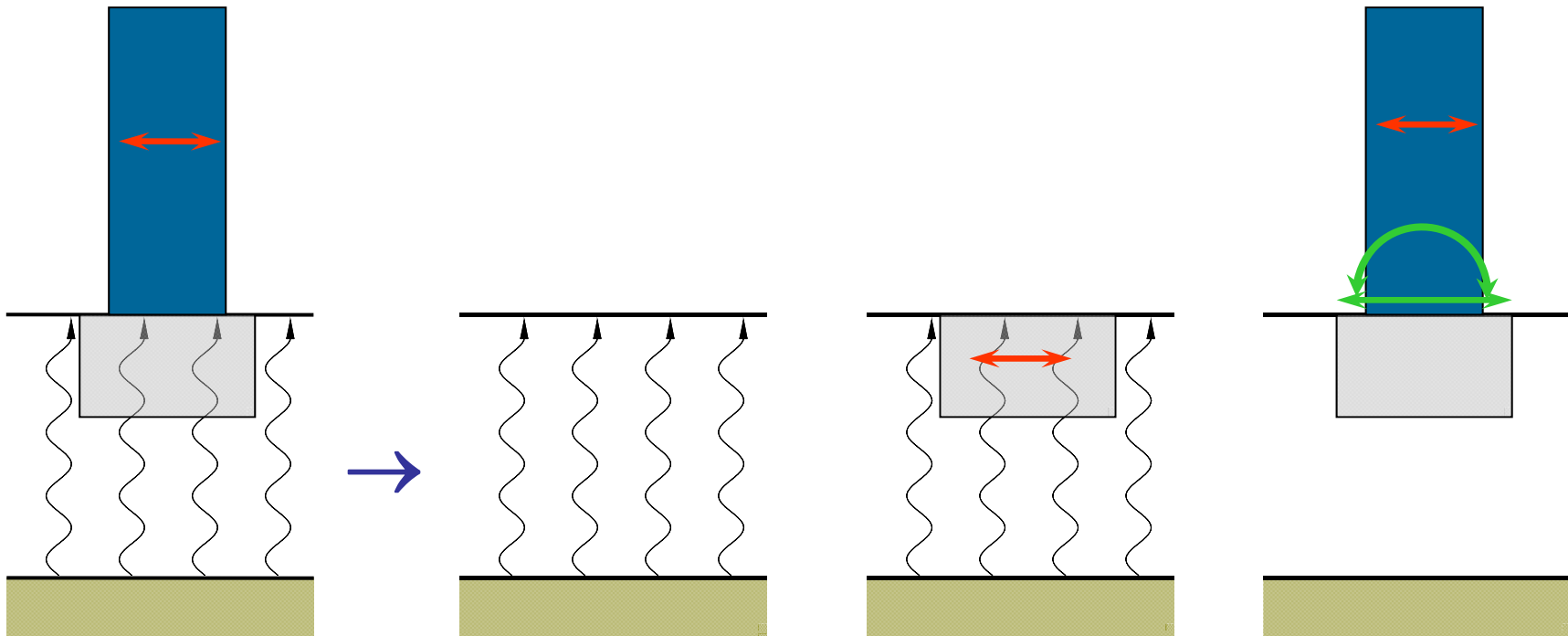
$$\gamma_R = 1.3 \text{ (carico laterale)}$$

IN CONDIZIONI SISMICHE:

$$\gamma_{G1} = 1.0 \quad \gamma_Q = 1.0$$



COMPORTAMENTO IN PRESENZA DI AZIONI SISMICHE



**interazione
"completa"**

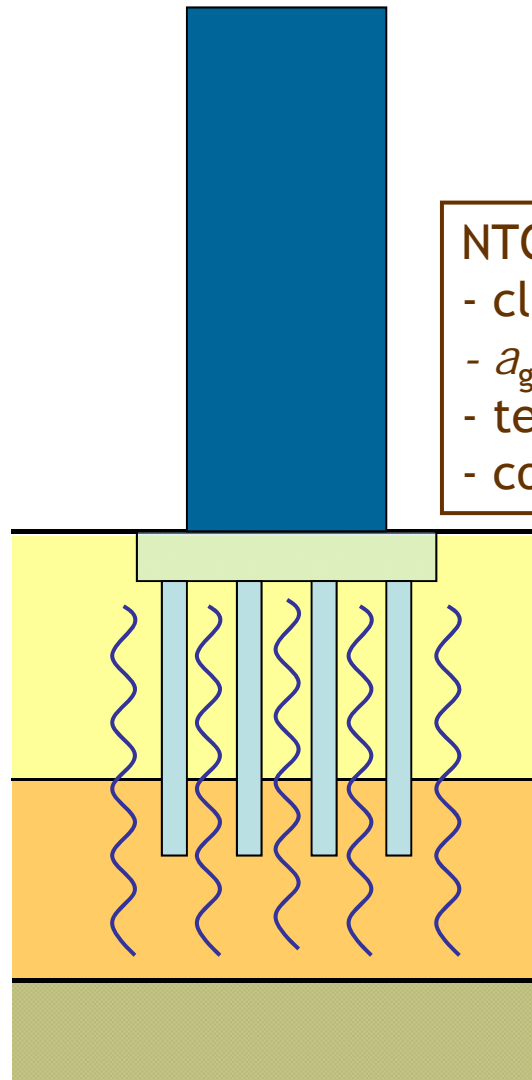
**risposta
sismica
locale**

**interazione
cinematica**

**interazione
inerziale**



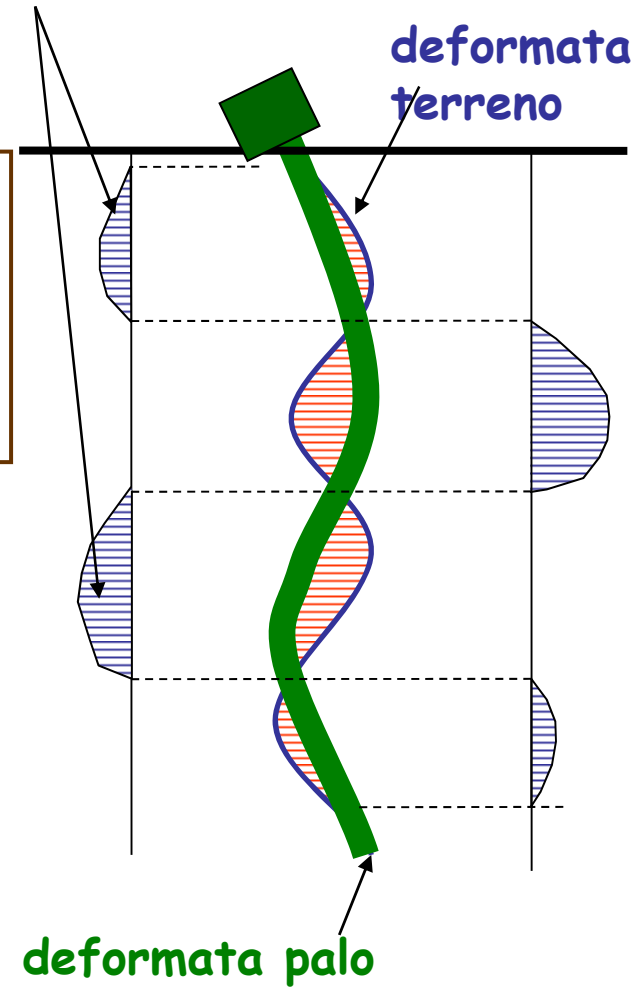
INTERAZIONE CINEMATICA



NTC:

- classe d'uso III e IV
- $a_g \geq 0.25 g$
- terreno tipo D o peggiori
- contrasti di rigidità

Sollecitazioni flettenti aggiuntive
pressioni sul palo



INTERAZIONE CINEMATICA - ANALISI SEMPLIFICATA

NIKOLAU *et al.* (2001)

$$M_{\max} = \delta \cdot M$$

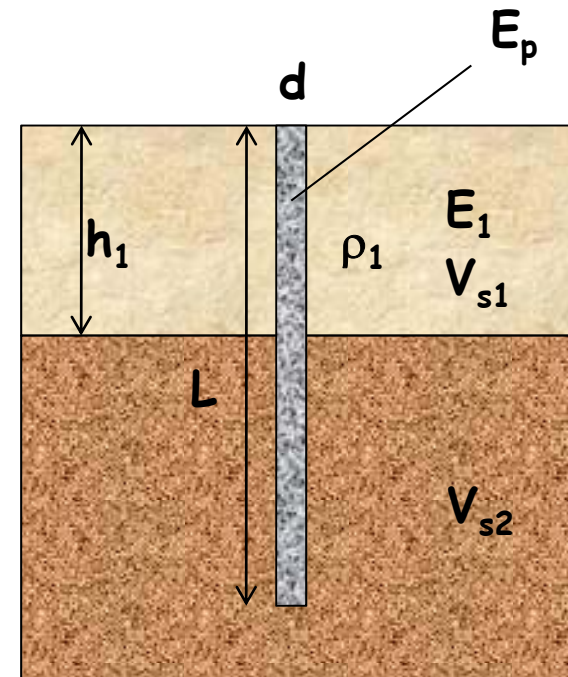
$$M = 0.042 \tau_c d^3 \left(\frac{L}{d} \right)^{0.30} \left(\frac{E_p}{E_1} \right)^{0.65} \left(\frac{V_{s2}}{V_{s1}} \right)^{0.5}$$

$$\tau_c = a_{\max s} \rho_1 h_1$$

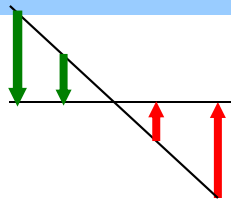
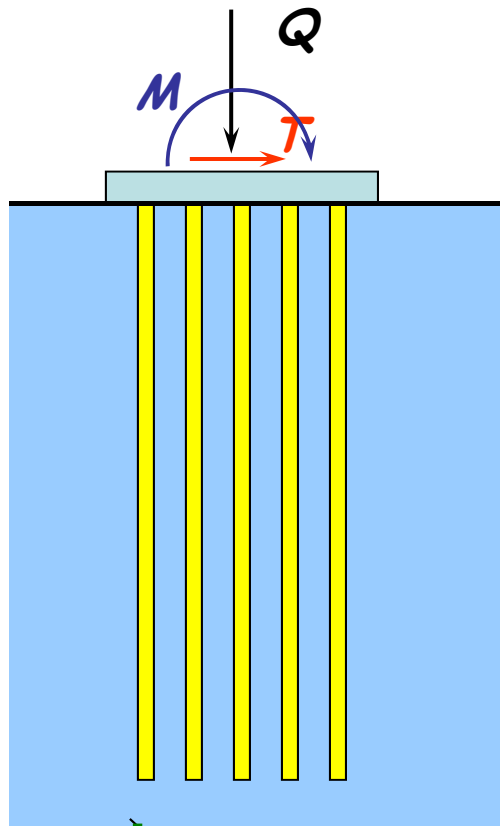
$$h_1 > L_a \quad L_a = 1.5 \left(\frac{E_p}{E_1} \right)^{\frac{1}{4}} \cdot d$$

$$\delta = 0.04 \cdot N_c + 0.23 \quad (T \approx T_p)$$

$$\delta = 0.015 \cdot N_c + 0.17 \quad (T \neq T_p)$$

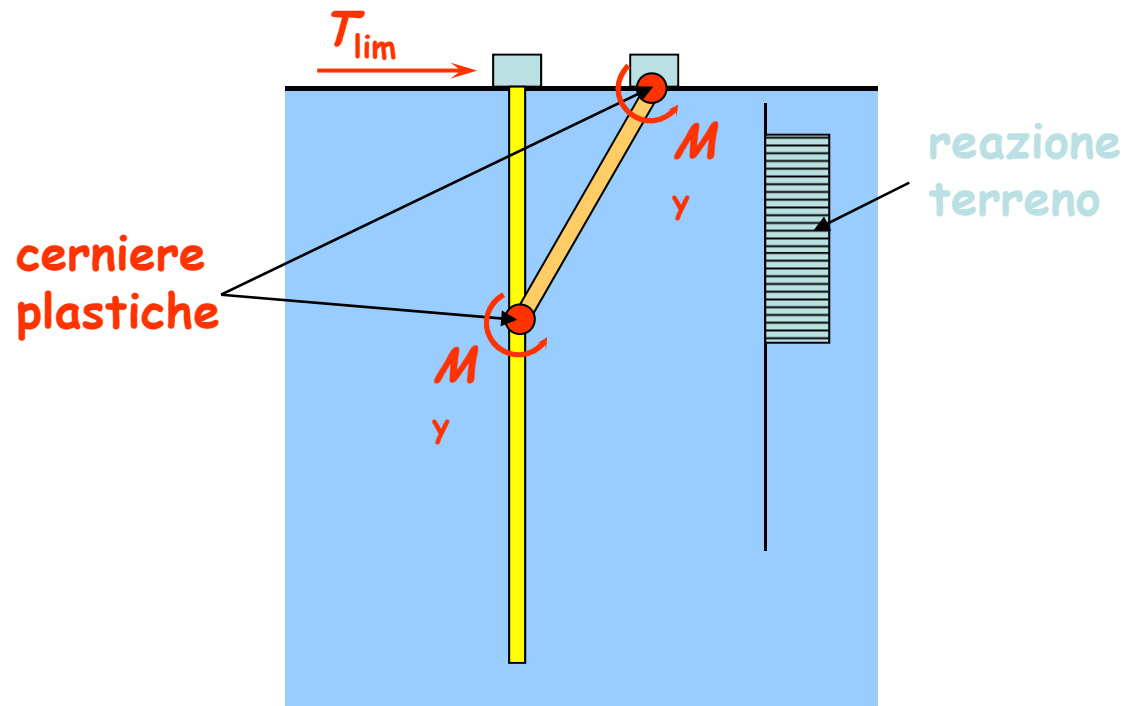


Carico limite (GEO)

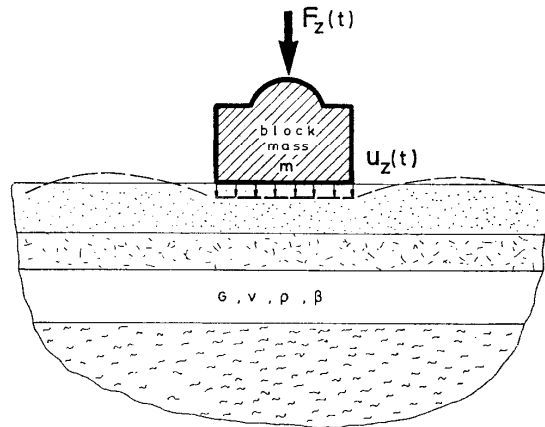


effetto di M :
incremento - decremento carico assiale

effetto di T :
meccanismo di collasso per carichi trasversali (Broms)



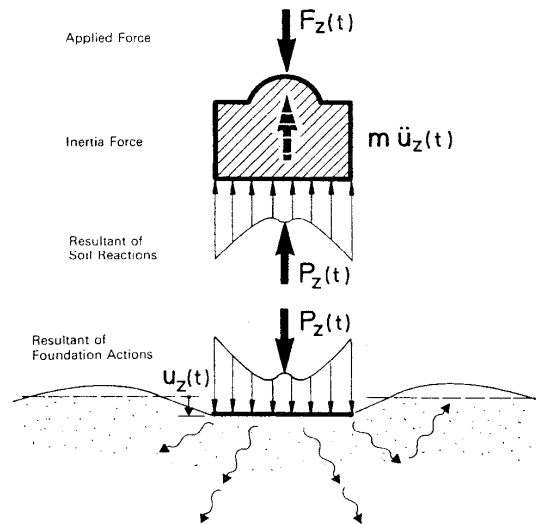
COMPORTAMENTO IN PRESENZA DI AZIONI SISMICHE



Equilibrio dinamico: $P_z(t) + m\ddot{u}_z(t) = F_z(t)$

Impedenza dinamica: $\mathcal{R}_z = \frac{P_z(t)}{u_z(t)}$

$$m\ddot{u}_z(t) + \mathcal{R}_z\dot{u}_z(t) = F_z(t)$$



Se l'eccitazione $F_z(t)$ è armonica, anche lo spostamento stazionario $u_z(t)$ è armonico ancorché sfasato.

$$\mathcal{R}_z = \bar{K}_z + i\omega C_z$$

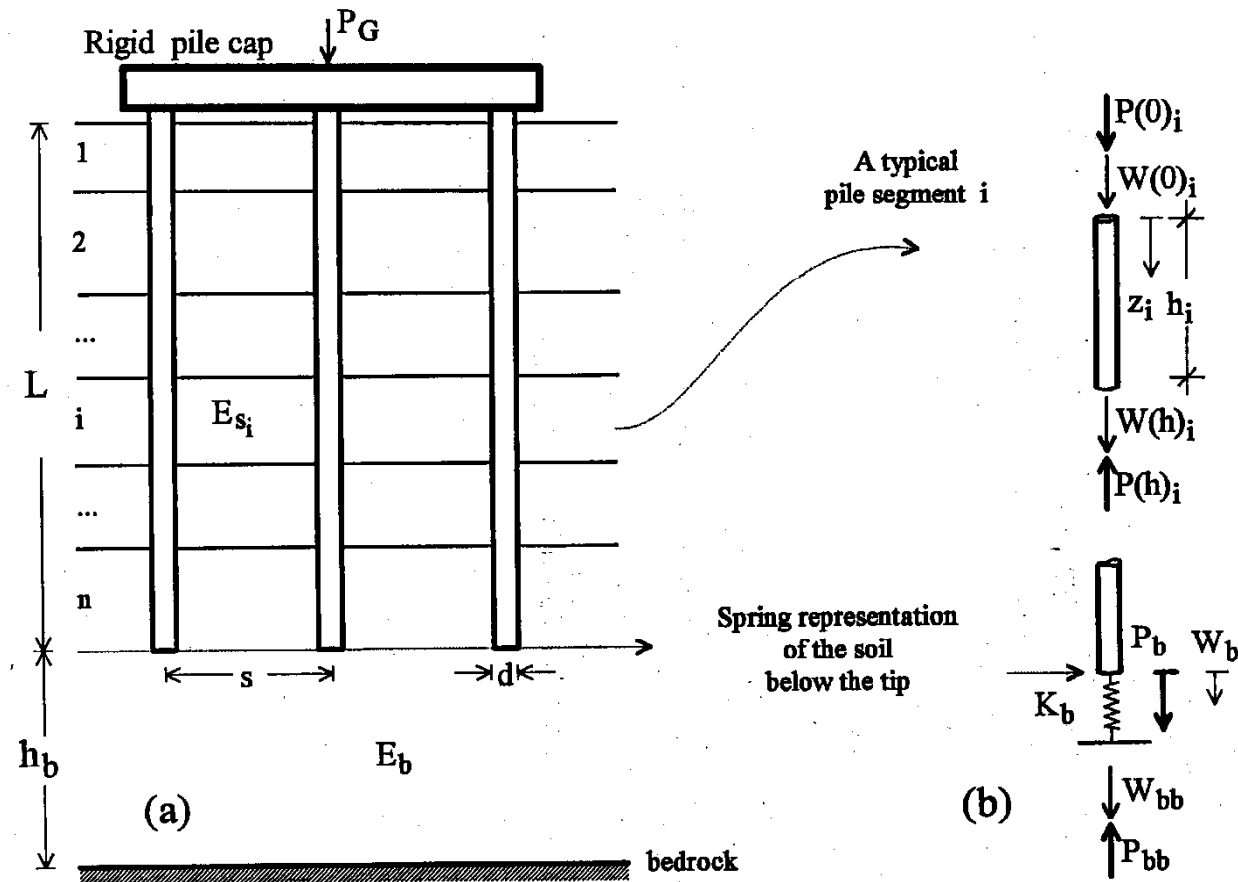
\bar{K}_z : **Rigidezza dinamica**

C_z : **Coefficiente di smorzamento**



COMPORTAMENTO IN PRESENZA DI AZIONI SISMICHE

CARICHI VERTICALI



Impedenza dinamica verticale di un palo isolato (Mylonakis, 1995)

$$\bar{K}_z \approx 0.6E_s \left(1 + \frac{1}{2} \sqrt{a_0} \right) \quad a_0 = \frac{\omega D}{V_s}$$

$$C_z \approx (C_z)_{\text{radiazione}} + (C_z)_{\text{isteresi}} = 1.2a_0^{\frac{1}{4}} \pi D \rho_s V_s + 2\beta \frac{\bar{K}_z}{\omega}$$

Strato omogeneo

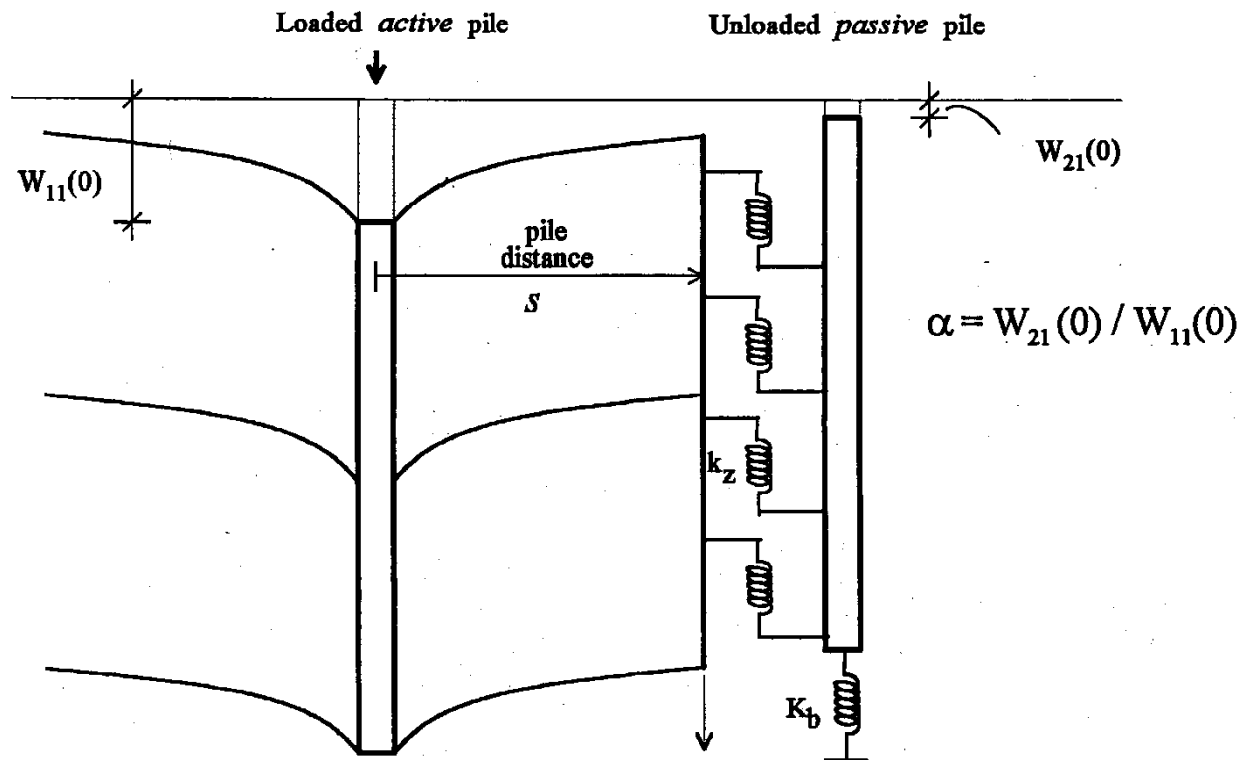
$$\Re_z = E_p I_p \lambda \frac{\Lambda + \tanh(\lambda L)}{1 + \Lambda \tanh(\lambda L)}$$

$$\lambda = \sqrt{\frac{\bar{K}_z - m\omega^2 + i\omega C_z}{E_p I_p}}$$

$$\Lambda = \frac{K_b}{E_p I_p \lambda} \quad K_b = \frac{P_b}{w_b} \approx \frac{DE_s}{1 - v_s^2} \left(1 + 0.65 \frac{D}{h_b} \right)$$



INTERAZIONE PALO-PALO PER CARICHI VERTICALI



Coefficiente d'interazione

$$\alpha_v = \frac{w_{21}}{w_{11}}$$

w_{21} : incremento di cedimento del palo 2 dovuto al carico sul palo 1

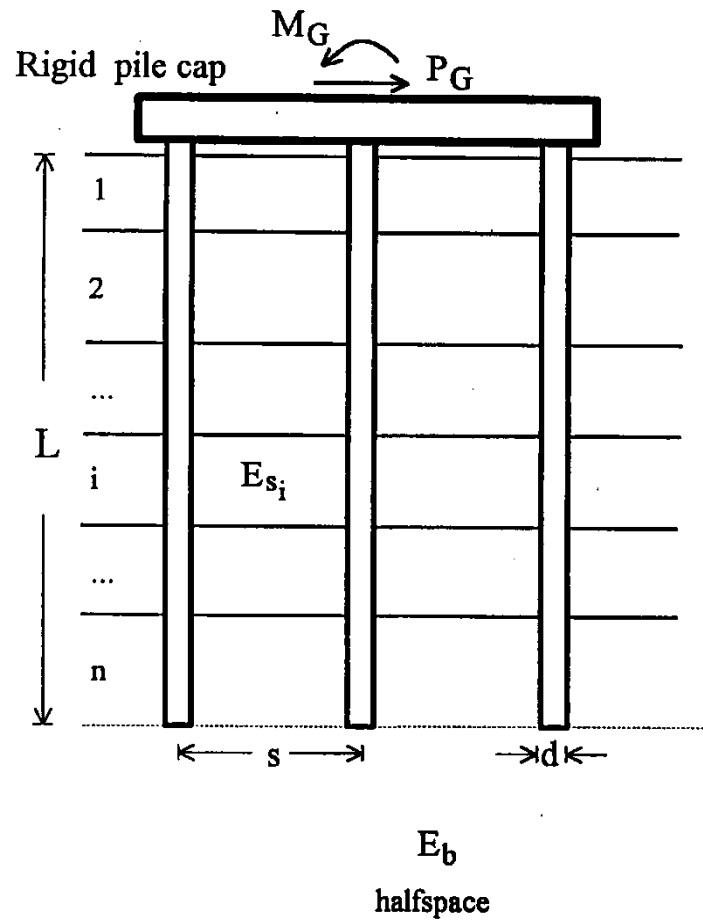
w_{11} : cedimento del palo 1 dovuto al suo proprio carico

$$\alpha_v(s) \approx \left(\frac{2s}{D}\right)^{-\frac{1}{2}} \exp\left[-(\beta + i)\left(s - \frac{1}{2}D\right)\frac{\omega}{V_s}\right]$$

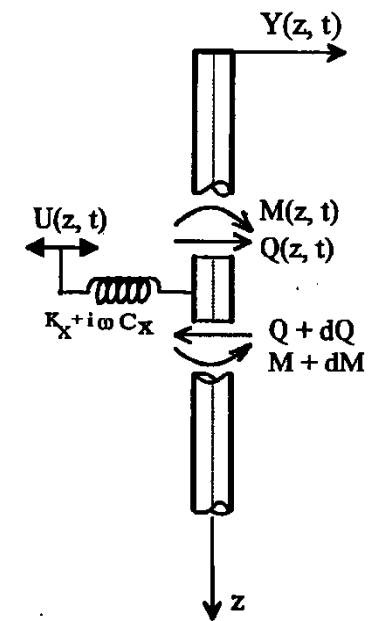


COMPORTAMENTO IN PRESENZA DI AZIONI SISMICHE

CARICHI ORIZZONTALI



A typical pile segment i :



Impedenza dinamica orizzontale di un palo isolato (Mylonakis, 1995)

$$\bar{K}_x \approx 1.2E_s$$

$$C_x \approx 6a_0^{-\frac{1}{4}} \pi D \rho_s V_s + 2\beta \frac{\bar{K}_x}{\omega}$$

$$a_0 = \frac{\omega D}{V_s}$$

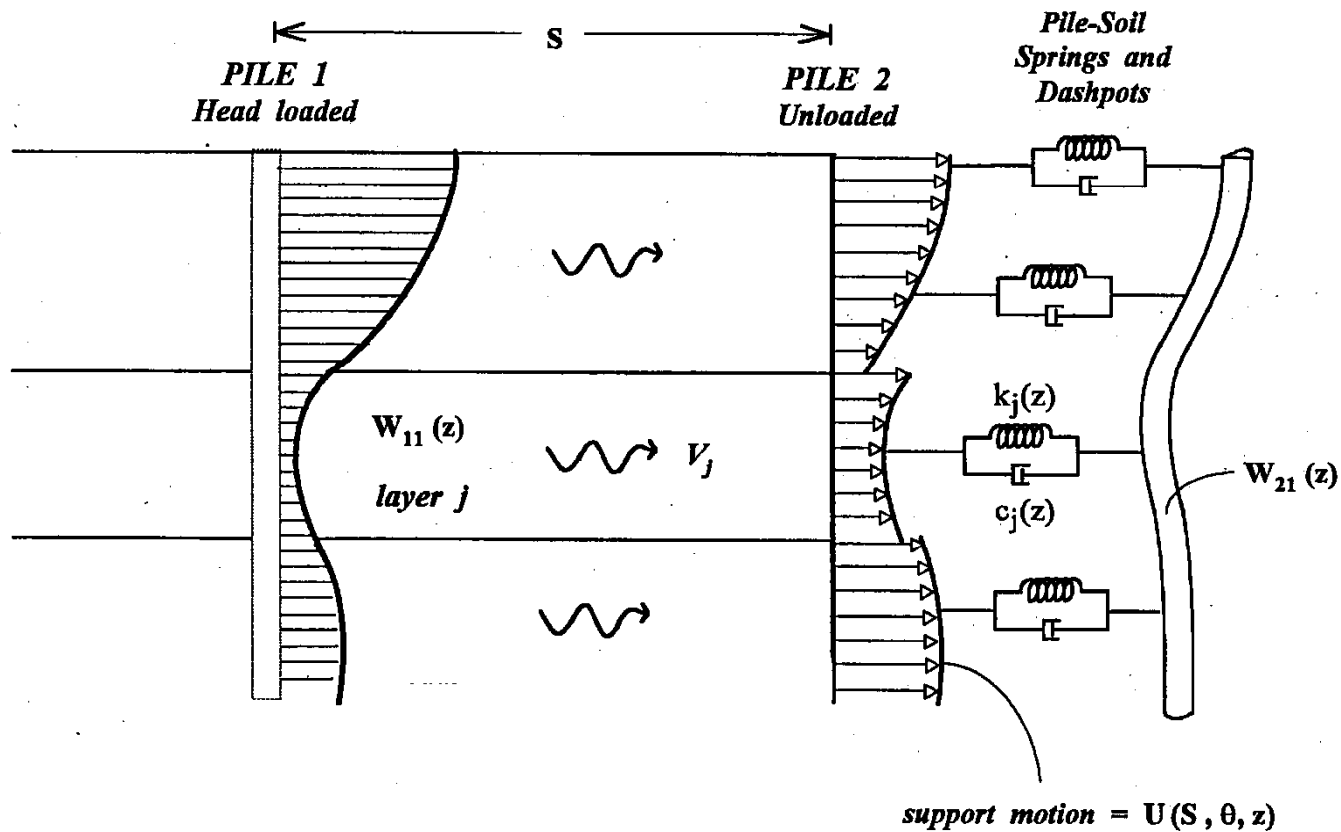
Strato omogeneo

$$[K] = \begin{bmatrix} 4E_p I_p g^3 & 2E_p I_p g^2 \\ 2E_p I_p g^2 & 4E_p I_p g \end{bmatrix}$$

$$g = \sqrt[4]{\frac{\bar{K}_x - m\omega^2 + i\omega C_x}{4E_p I_p}}$$



INTERAZIONE PALO-PALO PER CARICHI ORIZZONTALI



Coefficienti d'interazione

$$\alpha_{hh}(s, \theta) = \alpha_{hh}(s, 0) \cos^2 \theta + \alpha_{hh}(s, \frac{\pi}{2}) \sin^2 \theta$$

$$\alpha_{rh} = \alpha_{hr} = \alpha_{rr} = 0$$

$$\alpha_{hh}(s, 0) \approx \left(\frac{2s}{D}\right)^{-\frac{1}{2}} \exp\left[-(\beta + i) \frac{s - \frac{1}{2}D}{D} \frac{\pi(1 - \nu_s)}{3.4} a_0\right]$$

$$\alpha_{hh}(s, \frac{\pi}{2}) \approx \left(\frac{2s}{D}\right)^{-\frac{1}{2}} \exp\left[-(\beta + i) \frac{s - \frac{1}{2}D}{D} a_0\right]$$

